



مطالعه عددی جریان انتقال حرارت جابجایی تؤام سیال بینگهام در بین دو استوانه هم مرکز

حمیدرضا عسکری فرد جهرمی ، افراصیاب رئیسی* ، بهزاد قاسمی ، افشین احمدی ندوشن

۱- دانشکده فنی، دانشگاه شهرکرد، شهرکرد، ایران

تاریخچه داوری:

دریافت: ۱۳۹۸/۱۲/۲

بازنگری: ۱۳۹۹/۴/۲

پذیرش: ۱۳۹۹/۴/۲

ارائه آنلاین: ۱۳۹۹/۴/۱۵

کلمات کلیدی:

مطالعه عددی

انتقال حرارت

جابجایی تؤام

سیال بینگهام

دو استوانه هم مرکز.

خلاصه: در این مقاله، جریان دوبعدی انتقال حرارت جابجایی تؤام سیال بینگهام در بین دو استوانه هم مرکز بدون استفاده از روش تنظیم‌کننده مورد مطالعه عددی قرار گرفته است. دمای دیوار داخلی، که با سرعت ثابت در حال دوران است، از دمای دیوار ساکن بیشتر است. مسئله بر اساس روش حجم محدود و با استفاده از الگوریتم غیرتکراری پیزو حل شده است. بدین منظور یکی از حل کننده‌های نرم‌افزار اپنفوم برای حل دقیق جریان بینگهام توسعه داده شد. ابتدا حل کننده توسعه‌یافته اعتبارسنجی شد. سپس با ثابت‌درنظرگرفتن پارامترهای نسبت منظری ($AR = 0.1$)، عدد رینولدز ($Re = 100$)، عدد پرانتل ($Pr = 1.0$) و عدد گراش (Gr = 500) تغییرات عدد بینگهام در محدوده ($0 \leq Bn \leq 1000$) بر فرترهای هیدرودینامیکی و حرارتی مسئله همچون شکل و اندازه نواحی تسلیم‌نشده، خطوط جریان، توزیع سرعت، عدد ناسلت موضعی و میانگین، ضربی گشتاور و توزیع تنش مماسی مورد مطالعه قرار گرفت. نتایج نشان می‌دهد که با افزایش عدد بینگهام نواحی تسلیم‌نشده توسعه می‌یابد و میزان انتقال حرارت و عدد ناسلت کاهش و ضربی گشتاور افزایش می‌یابد. همچنین بازه تغییرات عدد ناسلت موضعی و تنش مماسی بر روی دیوار داخلی با افزایش عدد بینگهام کاهش می‌یابد.

۱- مقدمه

می‌شود. روش‌های پاپاناستاسیو^۲ [۱] و بای-ویسکوزیته^۳ [۲] دو تا از

معروف‌ترین روش‌های تنظیم‌کننده به شمار می‌آیند.

میتسالیس و زیزیس [۳] با استفاده از روش المان محدود همراه با مدل پاپاناستاسیو به مطالعه عددی جریان سیال بینگهام درون یک محفظه مربعی شکل پرداختند. آن‌ها تأثیر عدد بینگهام بر روی خواص جریان و شکل نواحی تسلیم‌نشده را موردنرسی قراردادند. توران و همکاران با استفاده از نرم‌افزار تجاری فلوئنت، که از روش تنظیم‌کننده پاپاناستاسیو استفاده می‌کند، به مطالعه عددی جریان انتقال حرارت طبیعی درون یک محفظه مربعی شکل [۴] و جریان انتقال حرارت جابجایی تؤام در یک محفظه استوانه‌ای [۵] پرداختند. با وجود آنکه استفاده از روش‌های تقریبی و تنظیم‌کننده راحت است اما پژوهشگران بسیاری به معایب این روش‌ها اشاره کرده‌اند [۶-۹]. عدم همگرایی در اعداد بینگهام بزرگ و عدم دقت قابل قبول در مشخص کردن مناطق تسلیم‌نشده از جمله معایب این روش‌ها هستند. همچنین در مسائلی که تنش در مناطق وسیعی از دامنه به تنش

سیالات ویسکوپلاستیک یکی از انواع سیالات غیرنیوتی نیستند که کاربرد فراوانی در صنایع مختلف همچون نفت، حفاری، تولید رنگ و تولید مواد غذایی و بهداشتی دارند. در این نوع سیال اگر تنش اعمالی بر سیال کمتر از مقدار مشخصی (تنش تسلیم) باشد، سیال همچون یک جامد عمل می‌کند و جاری نمی‌شود اما اگر تنش اعمالی بیشتر از تنش تسلیم باشد، سیال جاری می‌شود. این رفتار سیالات ویسکوپلاستیک سبب ناپیوسته شدن معادله ساختاری می‌شود. سیال بینگهام، که در آن رابطه بین تنش و کرنش پس از تسلیم به صورت خطی است، یکی از انواع سیالات ویسکوپلاستیک به شمار می‌آید. یکی از مهم‌ترین مشکلات در حل عددی جریان بینگهام، ناپیوسته بودن معادله ساختاری است. برای غلبه بر این مشکل راه کارهای مختلفی وجود دارد. یکی از آن‌ها جایگزینی معادله ساختاری با یک معادله پیوسته و هموار است. به این روش، روش تنظیم‌کننده^۱ گفته

2 Papanastasiou method

3 Bi-viscosity method

(Creative Commons License) حقوق مؤلفین به نویسنده‌گان و حقوق ناشر به انتشارات دانشگاه امیرکبیر داده شده است. این مقاله تحت لیسانس آفرینندگی مردمی (Creative Commons License) در دسترس شما قرار گرفته است. برای جزئیات این لیسانس، از آدرس <https://www.creativecommons.org/licenses/by-nc/4.0/legalcode> دیدن فرمائید.

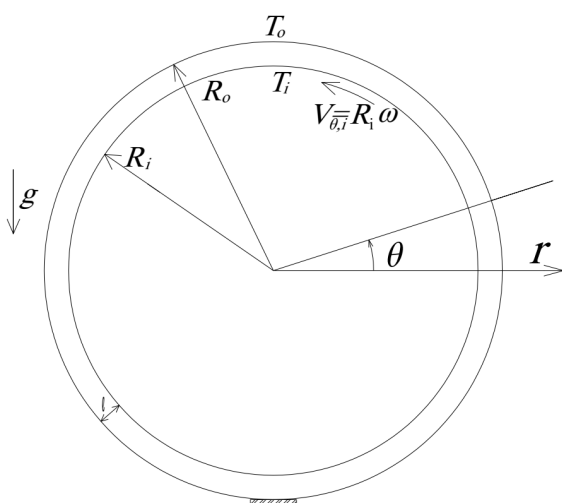
1 Regularization method

*نویسنده عهده‌دار مکاتبات: raisi@sku.ac.ir



با مدل دقیق، که هزینه محاسباتی زیادی به همراه دارد، بسیار راهگشا باشد. در این پژوهش جریان بینگهام بین دو استوانه هم مرکز مورد بررسی قرار می‌گیرد.

بررسی جریان و انتقال حرارت در بین دو استوانه هم مرکز از دیربار تاکنون مورد توجه دانشمندان بسیاری بوده است. دریکی از اولین پژوهش‌ها، کوهن و گلداستین [۱۴] به مطالعه آزمایشگاهی و عددی جریان انتقال حرارت طبیعی هوا و آب در بین دو استوانه هم مرکز افقی با نسبت منظری $(L/D_i = 0.8)$ پرداختند. یو [۱۵] جریان انتقال حرارت تؤام هوا در بین دو استوانه هم مرکز برای $(Re \leq 1500)$ ، $Gr \leq 5.0 \times 10^5$ و $D_i/L = 0.5$ را مورد مطالعه عددی قرارداد. در این پژوهش دیوار داخلی ثابت و گرمتر از دیوار خارجی دوار بود. او بر اساس اعداد رایلی و رینولدز سه رژیم گوناگون جریان (یک گردابه، دو گردابه و بدون گردابه) برای این هندسه گزارش کرد. مطالعه جریان سیالات غیر نیوتونی به ویژه سیال بینگهام در این نوع هندسه نیز می‌تواند بسیار کاربردی و با اهمیت باشد. اخیراً نیز معصومی و همکاران [۱۶] و همچنین راوگوئی و همکاران [۱۷] جریان انتقال حرارت طبیعی سیال بینگهام در میان دو استوانه هم مرکز را مورد مطالعه عددی قرار داده‌اند. نویسنده‌گان در هردو مقاله مدل دقیق جریان بینگهام را کنار گذاشته‌اند و از روش تقریبی پاپاناستاسیو استفاده کرده‌اند. در حالی که استفاده از مدل دقیق بینگهام در جریان میان دو استوانه هم مرکز، بخصوص با نسبت‌های منظری کوچک، ضروری است. بر اساس بررسی‌های انجام شده، تاکنون پژوهشی به حل عددی جریان و انتقال حرارت جابجایی تؤام سیال بینگهام بین دو استوانه هم مرکز



شکل ۱. فیزیک مسئله

Fig. 1. The schematic diagram of the physical model

تسلیم نزدیک می‌شود، استفاده از روش تنظیم‌کننده با خطای زیادی همراه است [۶].

برای حل جریان بینگهام با مدل دقیق و بدون استفاده از روش تنظیم‌کننده، از تئوری نابرابری تغییرات استفاده می‌شود [۱۰]. دین و گلوبینسکی [۱۱] با استفاده از این تئوری و روش المان محدود به بررسی جریان سیال بینگهام در یک محفظه مربعی شکل پرداختند. هیلوگل و کفایتی با استفاده از روش المان محدود [۷] و لتیس بولتزمن [۸] همراه با تئوری نابرابری تغییرات جریان انتقال حرارت طبیعی و تؤام سیال بینگهام درون یک محفظه را مورد بررسی قرار داده‌اند. پژوهشگرانی که به مطالعه جریان بینگهام با استفاده از روش حجم محدود پرداخته‌اند به دلیل سهولت در به کارگیری، غالباً به روش‌های تنظیم‌کننده توجه کرده‌اند و به ندرت به شبیه‌سازی مدل دقیق بینگهام پرداخته‌اند. وینی و همکاران [۱۲] به مطالعه عددی جریان انتقال حرارت اجباری درون یک لوله متقارن محوری با استفاده از روش لاگرانژی اگمنت^۲ همراه با روش حجم محدود پرداختند. چوبین و دوبویز [۱۳] به حل عددی مدل دقیق جریان بینگهام درون یک محفظه با استفاده روش حجم محدود پرداختند آن‌ها با استفاده از یک روش جدید برای گسترش‌سازی زمان، به همگرایی مسئله سرعت بخشیدند.

تقریباً همه پژوهشگران شبیه‌سازی مدل دقیق جریان بینگهام را با استفاده از کدنویسی انجام داده‌اند. بنابراین هندسه‌های موردنبررسی توسعه آن‌ها ساده (غالباً محفظه مربعی) بوده است. حال آنکه بررسی جریان بینگهام در هندسه‌های پیچیده‌تر، هم به دلیل کاربردهای فراوان مهندسی و هم به لحاظ تئوری از اهمیت بالایی برخوردار است. لذا ساخت حل‌کننده‌ای که قادر به حل جریان بینگهام فارغ از پیچیدگی‌های هندسی باشد، می‌تواند مبنایی برای کارهای پژوهشی آتی در زمینه‌ی سیالات بینگهام باشد. لذا یکی از اهداف این پژوهش ساخت این حل‌کننده بوده است و این هدف با توسعه‌ی یکی از حل‌کننده‌های نرم‌افزار اینفوم محقق شده است. به‌گونه‌ای که حل‌کننده توسعه‌یافته قادر به حل سه‌بعدی و ناپایا جریان و انتقال حرارت سیال بینگهام با استفاده از مدل دقیق برای هر هندسه‌ای خواهد بود. یکی دیگر از مزیت‌های نرم‌افزار اینفوم امکان بهره‌گیری از پردازش موازی است و استفاده از آن می‌تواند در حل جریان بینگهام

1 The theory of variational inequalities

2 The augmented Lagrangian method

در رابطه بالا τ_y تنش تسلیم، \mathbf{A} تانسور اول ریولین اریکسون^۱ و $\mathbf{L} = \mathbf{v}_{ij} = \frac{\partial \mathbf{V}}{\partial \mathbf{x}_j}$ ثابت دوم تانسور تنش اضافی ($I(S) = \sqrt{\frac{1}{2}(\mathbf{S} \cdot \mathbf{S})}$) است. بر اساس مرجع [۱۸] این معادله ناپیوسته را می‌توان با معادله زیر جایگزین کرد:

$$\mathbf{S}(\mathbf{V}) = \eta \mathbf{A}(\mathbf{V}) + \sqrt{2\tau_y} \mathbf{A} \quad (5)$$

در رابطه (۵) به Λ تانسور قید سیال ویسکوپلاستیک^۲ گفته می‌شود که یک تانسور بدون بعد و فاقد تریس است. این تانسور معیاری برای تشخیص نواحی تسلیم‌شده و تسلیم‌نشده با استفاده از رابطه (۶)

است:

$$\Lambda : \Lambda = \begin{cases} < 1 & \mathbf{A} = 0 \\ 1 & \mathbf{A} \neq 0 \end{cases} \quad (6)$$

و آن را می‌توان از رابطه‌ی بازگشتی (۷) به دست آورد (برای اطلاعات بیشتر به مرجع [۱۸] مراجعه شود):

$$\Lambda = P_M (\Lambda + r \tau_y \mathbf{A}(\mathbf{V})), \quad \forall r > 0 \quad (7)$$

در این رابطه P_M یک عملگر است. در این عملگر اگر $\|\mathbf{R}\| < 1$ در غیر این صورت $\frac{P_M(\mathbf{R})}{\|\mathbf{R}\|} = R_i$. با توجه به آنچه در بالا گفته شد معادله بقاء مومنتوم به شکل زیر درمی‌آید:

$$-\nabla p + \eta \nabla \cdot \mathbf{A}(\mathbf{V}) + \sqrt{2\tau_y} \nabla \cdot \Lambda - \beta \rho_o (T - T_o) g = \rho_o \frac{D\mathbf{V}}{Dt} \quad (8)$$

با تعریف پارامترها و اعداد بی‌بعد زیر(۹) همان سرعت مماسی دیواره داخلی است: $\mathbf{V}_{e,i} = R_i$

$$\begin{aligned} \mathbf{X}^* &= \frac{\mathbf{X}}{\ell}, \quad t^* = \frac{t}{\ell/V_{\theta,i}}, \quad \mathbf{V}^* = \frac{\mathbf{V}}{V_{\theta,i}}, \quad P^* = \frac{P_d}{\rho_o V_{\theta,i}^2}, \\ T^* &= \frac{T - T_o}{T_i - T_o}, \quad g^* = \frac{g}{g}, \quad r^* = \frac{r - R_i}{R_o - R_i} \\ Re &= \frac{\rho_o V_{\theta,i} \ell}{\eta}, \quad Pr = \frac{\eta C_p}{k} = \frac{\eta}{\rho_o \alpha}, \quad Bn = \frac{\sqrt{2\tau_y} \ell}{\eta V_{\theta,i}}, \\ Gr &= \frac{\rho_o^2 \beta g \ell^3 (T_i - T_o)}{\eta^2}, \quad Ri = \frac{Gr}{Re^2} = \frac{g \beta (T_i - T_o) \ell}{V_{\theta,i}^2}, \end{aligned} \quad (9)$$

بدون استفاده از روش تنظیم‌کننده نپرداخته است.

بنابراین، در این پژوهش ابتدا به توسعه‌ی حل کننده نرم‌افزار اینفوم به منظور حل جریان و انتقال حرارت سیال بینگه‌هام پرداخته شده است و پس از اعتبارسنجی حل کننده توسعه‌یافته، از آن برای حل جریان انتقال حرارت جابجایی توأم در بین دو استوانه هم‌مرکز استفاده شده است. در قسمت نتایج و بحث، تأثیر عدد بینگه‌هام بر ویژگی‌های هیدرودینامیکی و حرارتی جریان همچون شکل مناطق تسلیم‌نشده، خطوط جریان، عدد ناسلت و ضریب گشتاور مورد ارزیابی قرار گرفته است.

۲- فیزیک مسئله و معادلات حاکم

مطابق شکل ۱، فضای بین دو استوانه هم‌مرکز طویل با استفاده از سیال بینگه‌هام پر شده است. دیوار داخلی در دمای T_i و دیوار خارجی در دمای T_o قرار داردن به طوری که $T_i > T_o$ است. دیوار خارجی ساکن و دیوار داخلی با سرعت زاویه‌ای ثابت ω در خلاف جهت عقربه‌های ساعت در حال دوران است. نسبت منظری نیز به صورت $AR = \frac{\ell}{R_i}$ تعريف می‌شود. استوانه‌ها به صورت طویل فرض شده است، بنابراین مسئله را می‌توان دوبعدی در نظر گرفت.

چگالی سیال در همه‌ی معادلات، به جزء در عبارت شناوری که با استفاده از تقریب بوزینسک بیان می‌شود، ثابت در نظر گرفته می‌شود. سایر خواص ترموفیزیکی همچون گرانروی، تنش تسلیم، ضریب انتقال حرارت رسانشی و ظرفیت حرارتی ویژه نیز ثابت فرض شده است. بنابراین معادلات بقاء جرم، مومنتوم و انرژی به صورت زیر بیان می‌شوند:

$$\nabla \cdot \mathbf{V} = 0 \quad (1)$$

$$-\nabla p + \nabla \cdot \mathbf{S} - \beta \rho_o (T - T_o) g = \rho_o \frac{D\mathbf{V}}{Dt} \quad (2)$$

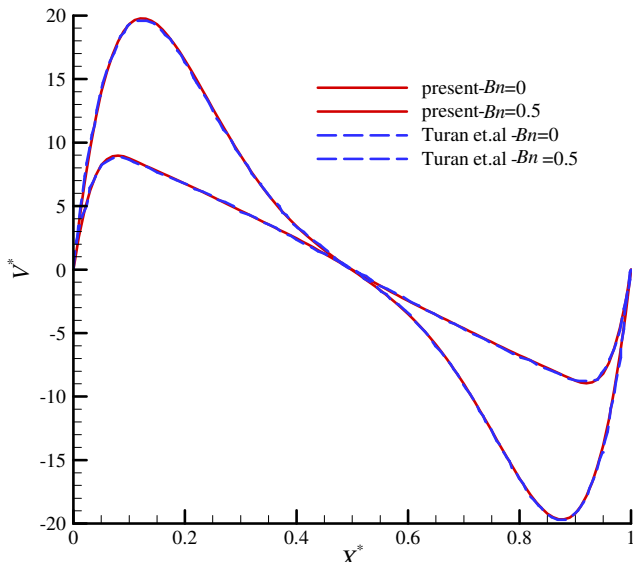
$$\frac{DT}{Dt} = \alpha \nabla^2 T \quad (3)$$

که در آن \mathbf{S} تانسور تنش اضافی و $\alpha = \frac{k}{\rho_o c_p}$ ضریب نفوذ حرارتی است. معادله ساختاری سیال بینگه‌هام با استفاده از رابطه زیر بیان می‌شود:

$$\begin{cases} \mathbf{A} = \mathbf{0} & I(S) \leq \tau_y \\ \mathbf{S} = \eta \mathbf{A} + \frac{\tau_y}{I(\mathbf{A})} \mathbf{A} & I(S) \geq \tau_y \end{cases} \quad (4)$$

1 The first Rivlin-Ericksen tensor

2 Viscoplasticity constraint tensor



شکل ۲. توزیع سرعت عمودی بی بعد بر روی خط مرکزی افقی محفظه در شرایط $Pr = 7$ و $Ra = 10^4$ برای پژوهش حاضر و [۴]

Fig. 2. The comparison between the dimensionless vertical velocity of the present study and the work done by Turan et al. [4] at $y^*=0.5$ for $Ra=104$ and $Pr=7$

با استفاده از مدل دقیق و به صورت ناپایا باشد. در ادامه و با توسعه بیشتر این حل کننده، امکان حل مسائل انتقال حرارت سیال بینگهام با استفاده از مدل دقیق در این مقاله فراهم شد. مقدار مانده معیار برای همگرایی معادلات پیوستگی، بقاء مومنتوم و انرژی برابر با 10^{-4} است.

شایان ذکر است که در نرم افزار اپنفوم تمامی مسائل به صورت سه بعدی حل می شود. در مسائل دو بعدی، همچون مسئله حاضر، از یک شبکه سه بعدی با تعداد یک خانه در راستای بعد سوم استفاده می شود و با تعریف مرز خالی^۲ در صفحات جلو و عقب، مسئله به یک مسئله دو بعدی تبدیل می شود.

۴- اعتبار سنجی حل کننده توسعه یافته

در پژوهش اخیر [۲۰] توسط نویسندهای این مقاله حاضر، از صحت نتایج حل کننده توسعه یافته برای جریان بینگهام بدون انتقال حرارت اطمینان حاصل شد. در پژوهش حاضر با توسعه بیشتر حل کننده امکان حل مسائل انتقال حرارت سیال بینگهام نیز فراهم شد. بنابراین برای اطمینان از صحت نتایج حل کننده جدید، مقاله‌ی توران و همکاران [۴]، که به حل جریان انتقال حرارت طبیعی سیال بینگهام درون یک محفظه مربعی شکل با استفاده از روش تنظیم کننده می پردازد، انتخاب

با استفاده از پارامترهای بی بعد، معادلات بدون بعد حاکم بر مسئله به شکل زیر درمی آیند:

$$\nabla \cdot \mathbf{V}^* = 0 \quad (10)$$

$$\frac{D^* \mathbf{V}^*}{Dt^*} = -\nabla p_d^* + \frac{1}{Re} \nabla^* \cdot \mathbf{A}^* (\mathbf{V}^*) + \frac{Bn}{Re} \nabla^* \cdot \mathbf{A} - Ri T^* \quad (11)$$

$$\mathbf{A} = P_M (\mathbf{A} + Pr Bn \mathbf{A}^* (\mathbf{V}^*)) \quad (12)$$

$$\frac{D^* T^*}{Dt^*} = \frac{1}{Re Pr} \nabla^{*2} T^* \quad (13)$$

شرایط مرزی بدون بعد نیز به شکل زیر هستند:

$$\begin{array}{ll} V_\theta^*(r^* = 0) = 1 & V_\theta^*(r^* = 1) = 0 \\ V_r^*(r^* = 0) = 0 & V_r^*(r^* = 1) = 0 \\ T^*(r^* = 0) = 1 & T^*(r^* = 1) = 0 \end{array} \quad (14)$$

۳- روش عددی

با توجه به معادلات حاکم، در حل جریان بینگهام با استفاده از مدل دقیق، یک میدان تانسوری مجھول بنام تانسور قید سیال ویسکوپلاستیک که معیار تسلیم شدگی سیال است به سایر مجھولات اضافه می شود. لذا الگوریتم حل در این نوع مسائل نسبت به سیال نیوتونی متفاوت است. تاکنون پژوهشگران برای حل این نوع مسائل، از کدنویسی استفاده کردند. کدنویسی حتی اگر به بهینه‌ترین حالت انجام شود با محدودیت‌های بسیاری همراه است. نرم افزار اپنفوم یک نرم افزار متن باز است که می‌توان به حل کننده‌های آن دسترسی داشت و تغییرات موردنظر را متناسب به مسئله مورد مطالعه بر آن اعمال کرد. از دیگر قابلیت‌های اپنفوم می‌توان به امکان انجام محاسبات عددی به صورت پردازش موازی اشاره کرد. بنابراین استفاده از این نرم افزار در مسائلی با هزینه محاسباتی زیاد، همچون جریان دقیق بینگهام، راهگشاست. حل کننده آیکوفوم^۱ که یکی از حل کننده‌های نرم افزار اپنفوم است با استفاده از روش حجم محدود همراه با الگوریتم غیر تکراری پیزو [۱۹] به حل جریان نیوتونی می‌پردازد. در پژوهش [۲۰]، توسط نویسندهای این مقاله حاضر، این حل کننده به نحوی توسعه داده شد که حل کننده قادر به حل معادلات جریان سیال بینگهام

جدول ۱. مقایسه سرعت عمودی مرجع [۴] و پژوهش حاضر در نقاط مختلف خط $y^* = 0.5$ برای $Bn = 0$ و $Bn = 0.5$

Table 1. The comparison between the dimensionless vertical velocity of the present study and the work done by Turan et al. [4] at $y^*=0.5$ for $Bn=0$ and $Bn=0.5$

| x^* | $0/9$ | $0/8$ | $0/7$ | $0/6$ | $0/5$ | $0/4$ | $0/3$ | $0/2$ | $0/1$ | X^* |
|--------|--------|-------|-------|-------|-------|-------|-------|-------|----------------------------------|------------|
| -19/16 | -16/44 | -9/12 | -3/45 | 0 | 3/31 | 8/95 | 16/24 | 19/28 | $y^* = 0/5 V^*$ در مرجع [۴] | $Bn = 0$ |
| -19/20 | -16/39 | -9/02 | -3/53 | -0/04 | 3/37 | 8/97 | 16/42 | 19/31 | $y^* = 0/5 V^*$ در پژوهش حاضر | $Bn = 0.5$ |
| 0/21 | 0/30 | 1/10 | 2/31 | | 1/81 | 0/22 | 1/11 | 0/15 | در صد خطاطی | |
| -8/72 | -6/87 | -2/63 | -2/38 | -0/01 | 2/33 | 4/53 | 6/75 | 8/65 | $y^* = 0/5 V^*$ در مرجع [۴] | |
| -8/75 | -6/74 | -2/69 | -2/45 | -0/01 | 2/43 | 4/63 | 6/75 | 8/76 | $y^* = 0/5 V^*$ در پژوهش حاضر | $Bn = 0/5$ |
| 0/34 | 1/89 | 2/28 | 2/94 | 0 | 4/29 | 2/21 | 0 | 1/27 | در صد خطاطی | |

هردو پژوهش درج شده است. دلیل تطبیق بسیار عالی نتایج در این دو پژوهش، یکسان بودن روش عددی (روش حجم محدود)، استفاده از یک شبکه یکسان و کوچک بودن عدد بینگهام است. با توجه به شکل ۱ و جدول ۱، می توان از صحت فرآیند انجام شده برای توسعه حل کننده در جهت حل جریان و انتقال حرارت سیال بینگهام با استفاده از مدل دقیق اطمینان حاصل کرد.

۵- نتایج و بحث

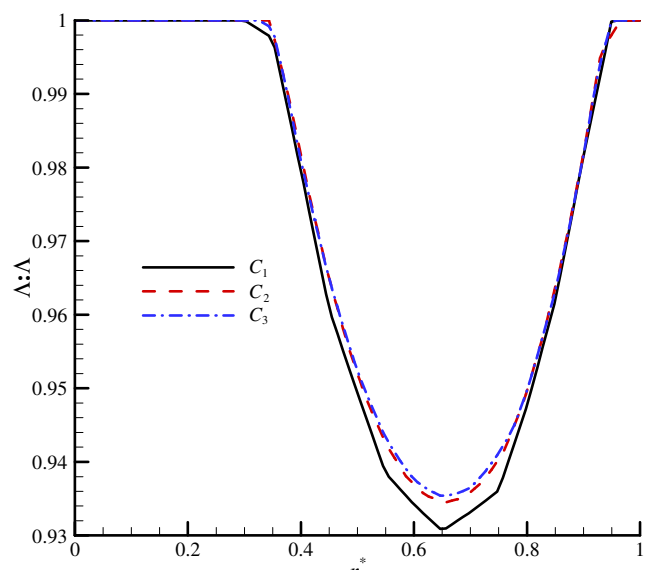
در این مقاله جریان انتقال حرارت جابجایی تؤام سیال بینگهام بین دو استوانه طویل هم مرکز، در حالی که دیواره بیرونی ثابت و دیواره داخلی با سرعت ثابت در حال دوران است، مورد مطالعه قرار می گیرد. مسئله در وضعیتی که $Gr = 500$ ، $Re = 10$ ، $Pr = 10$ ، $AR = 0/1$ ، $Bn = 0.1, 1, 10, 100$ است، برای اعداد بینگهام مختلف (۱۰۰۰ و ۱۰۰۰۰) حل و تأثیر عدد بینگهام بر روی ویژگی های هیدرودینامیکی و

جدول ۲. میانگین ضرب دونقطه ای تانسور قید سیال ویسکوپلاستیک در $\theta = 180^\circ$ در شرایطی که $Re = 10$ ، $Pr = 10$ ، $Gr = 500$ و $Bn = 100$ برای سه شبکه مختلف

Table 2. The average value of $\Lambda:\Lambda$ for three different meshes at $\theta=180^\circ$ for $Gr=500$, $Re=10$, $Pr=10$, $Bn=100$

| $\theta = 180^\circ$ در $\overline{\Lambda:\Lambda}$ | تعداد خانه | شبکه |
|--|------------|-------|
| 0/9728 | ۲۸۰۰۰ | C_1 |
| 0/9743 | ۵۷۴۲۰ | C_2 |
| 0/9745 | ۱۱۲۰۰ | C_3 |

و مسئله مجدداً برای $Ra = 10^7$ و $Pr = 7$ در دو عدد بینگهام صفر و نیم توسط حل کننده جدید حل شد. با وجود آنکه در این مقاله از روش حل دقیق و در مقاله [۴] از روش تنظیم کننده استفاده شده است، اما در اعداد بینگهام کوچک و این هندسه های خاص (محفظه های مربعی شکل) نتایج این دو روش با یکدیگر قابل مقایسه هستند. در شکل ۲ توزیع سرعت عمودی بی بعد در وسط محفظه حاصل از هردو پژوهش با یکدیگر مقایسه شده است. برای بررسی دقیق تر، در جدول ۱ مقدار سرعت عمودی بی بعد در چند نقطه در وسط محفظه برای



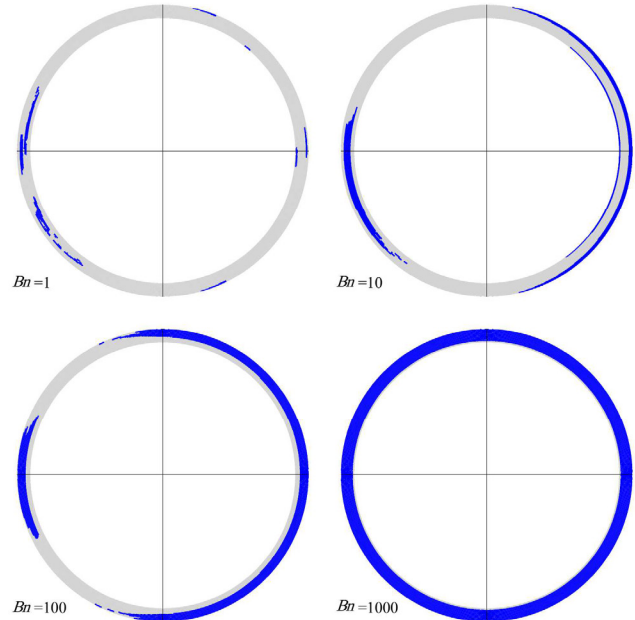
شکل ۳. توزیع ضرب دونقطه ای تانسور قید سیال ویسکوپلاستیک در $\theta = 180^\circ$ در شرایطی که $Re = 10$ ، $Pr = 10$ ، $Gr = 500$ و $Bn = 100$ برای سه شبکه مختلف

Fig. 3. The distribution of $\Lambda:\Lambda$ for three different meshes at $\theta=180^\circ$ for $Gr=500$, $Re=10$, $Pr=10$, $Bn=100$

۵-۲- شکل نواحی تسليمه‌نشده و خطوط جریان

در جریان سیالات بینگهام دو نوع ناحیه تسليمه‌نشده وجود دارد: یکی ناحیه مرده^۱، که در آن سیال ساکن و قادر سرعت است، و دیگری ناحیه‌ی پلاگ^۲. در ناحیه پلاگ ذرات سیال به هم چسبیده و با سرعت یکسان حرکت می‌کنند. درواقع در این ناحیه گرادیان سرعت نزدیک به صفر است. در شکل ۴ نواحی تسليمه‌نشده برای مقادیر مختلف عدد بینگهام نشان داده شده است. در $Bn = 1$ ، وسعت نواحی تسليمه‌نشده کم است و این نواحی در کل دامنه پراکنده شده‌اند. این نواحی، به جزء در دو ناحیه بسیار کوچک چسبیده به دیواره بیرونی، غالباً از نوع پلاگ هستند. با افزایش عدد بینگهام به $Bn = 10$ ، این نواحی با یکدیگر ادغام می‌شوند و سه ناحیه‌ی عمدی تسليمه‌نشده را به وجود می‌آورند. ناحیه اول: از نوع مرده و چسبیده به دیواره بیرونی در سمت راست دامنه. ناحیه دوم: از نوع پلاگ چسبیده به دیواره داخلی در سمت راست که با دیواره حرکت می‌کند. ناحیه سوم: یک ناحیه پلاگ که در بین دو دیواره در سمت چپ دامنه تشکیل می‌شود. علت تفاوت شکل و اندازه نواحی تسليمه‌نشده در سمت راست و چپ دامنه، وجود نیروی شناوری موافق در سمت راست و نیروی شناوری $Bn = 100$ مخالف در سمت چپ است. با توجه به شکل ۴، برای $Bn = 100$ ، ضخامت ناحیه مرده سمت راست افزایش می‌یابد. در این عدد بینگهام، ناحیه تسليمه‌نشده سمت چپ از دیواره بیرونی جداست و این ناحیه از نوع پلاگ است. در $Bn = 1000$ تنها ناحیه بسیار کوچکی در اطراف دیواره داخلی تسليم می‌شود و اکثر نقاط بهصورت ناحیه مرده هستند. شکل نواحی مرده در این حالت متقاض است. در حقیقت در اعداد بینگهام بسیار بزرگ به دلیل تسليمه‌نشدن سیال، اثر نیروی شناوری از بین می‌رود. بررسی‌های ما نشان می‌دهد که شکل و اندازه نواحی تسليمه‌نشده برای حالتی که عدد بینگهام خیلی بزرگ است $Bn = 1000$ ، با حالتی که از انتقال حرارت صرفنظر می‌شود یکسان است.

در شکل ۵ خطوط جریان و ماکزیمم تابع جریان برای مقادیر مختلف عدد بینگهام نشان داده شده است. برای سیال نیوتونی ($Bn = 0$)، یک گردابه در سمت راست تشکیل می‌شود درحالی که در سمت چپ گردابه‌ای وجود ندارد. چنانچه دیواره داخلی را هم ساکن فرض کنیم و جریان تنها به دلیل نیروی شناوری در فضای حلقوی بین دو



شکل ۴. شکل نواحی تسليمه‌نشده برای $Re = 10$ ، $Pr = 10$ و $Gr = 500$ و مقادیر مختلف عدد بینگهام

Fig. 4. The unyielded regions for $Gr=500$, $Re=10$, $Pr=10$, and different Values of Bingham number

حرارتی جریان ارزیابی می‌شود. بنابراین مقدار عدد ریچاردسون در این پژوهش ثابت و برابر ۵ است. حل کننده توسعه یافته بهصورت ناپایا به حل مسئله می‌پردازد، اما در شرایط بیان شده، با یک مسئله پایا روبرو هستیم و نتایج در حالت پایا نمایش داده می‌شود. البته از عدم تأثیر اندازه گام زمانی بر نتایج اطمینان حاصل شده است.

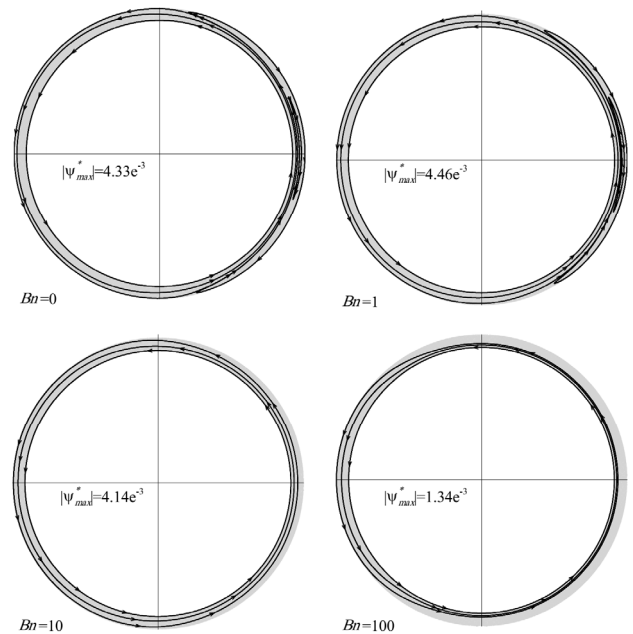
۵-۱- استقلال حل از شبکه

برای اطمینان از استقلال حل از شبکه، مسئله برای سه شبکه‌ی منظم و یکنواخت با تعداد $C_1 = 28000$ ، $C_2 = 57420$ و $C_3 = 112000$ المان در شرایطی که $Re = 10$ ، $Pr = 10$ و $Gr = 500$ حل شد. در استقلال شبکه عدد ناسلت میانگین، ضرب گشتاور و تانسور قید سیال ویسکوپلاستیک مورد بررسی قرار گرفت. در اینجا بحرانی ترین پارامتر یعنی تانسور قید سیال ویسکوپلاستیک، که معیاری از تشخیص نواحی تسليم شده است (رابطه ۶)، مورد بررسی قرار می‌گیرد. توزیع و میانگین ضرب دونقطه‌ای تانسور قید سیال ویسکوپلاستیک در $\theta = 180^\circ$ به ترتیب در شکل ۳ و جدول ۲ نشان داده شده است. با توجه به شکل ۳ و جدول ۲، انتخاب شبکه‌ای با تعداد ۵۷۴۲۰ المان هم از نظر دقت نتایج و هم از نظر میزان هزینه‌ی محاسباتی معقول به نظر می‌رسد.

1 Dead zone

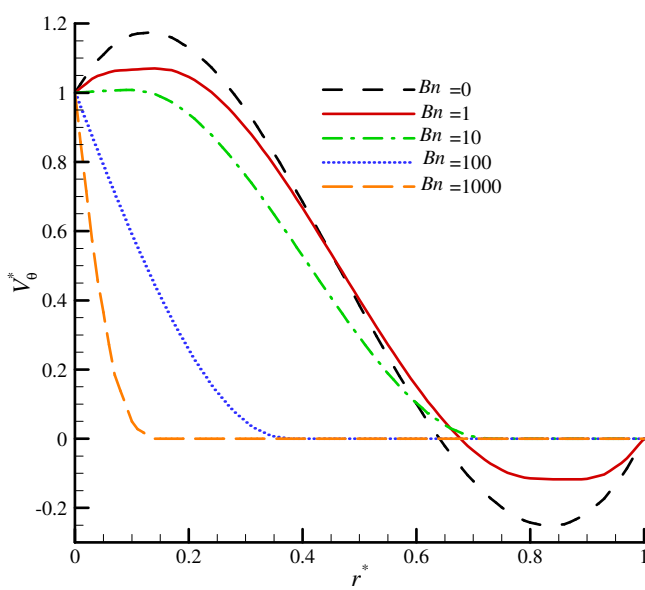
2 Plug zone

مختلف بینگهام در شکل ۶ نشان داده شده است. در جریان نیوتینی ($Bn = 0$)، با حرکت از سمت دیواره داخلی به سمت دیواره بیرونی، سرعت مماسی ابتدا افزایش و سپس کاهش می‌یابد، با ادامه کاهش جهت سرعت عوض می‌شود، و نهایتاً بر روی دیواره داخلی صفر می‌شود. این رفتار سرعت مماسی به دلیل تشکیل گردابه در این ناحیه است (شکل ۵). برای جریان سیال بینگهام با $Bn = 1$ ، همین رفتار تکرار می‌شود. با این تفاوت که اندازه کمینه و بیشینه سرعت نسبت به جریان نیوتینی کمتر است. با توجه به شکل ۶، در نقاط کمینه و بیشینه سرعت، مقدار گرادیان سرعت به سمت صفر میل می‌کند و این نقاط همان نقاطی هستند که در آن ناحیه کوچک پلاگ به وجود می‌آید (شکل ۴). با افزایش عدد بینگهام به مقدار ۱۰، همان‌طور که در بالا بیان شد، گردابه از بین می‌رود، بنابراین سرعت مماسی نیز تغییر جهت نمی‌دهد. تشکیل ناحیه پلاگ در اطراف دیواره داخلی و ناحیه مرده در اطراف دیواره بیرونی برای $Bn = 10$ ، سبب صفر شدن گرادیان سرعت در این نواحی می‌شود (شکل ۶). در $Bn = 100$ ، با فاصله گرفتن از دیواره داخلی سرعت کاهش می‌یابد و در $r^* = 0.38$ صفر می‌شود و مقدار آن، به دلیل تشکیل ناحیه مرده، تا دیواره بیرونی صفر باقی می‌ماند. در $Bn = 1000$ ، تنها



شکل ۵. خطوط جریان برای $Gr = 10$ ، $Re = 10$ ، $Pr = 10$ و مقادیر مختلف عدد بینگهام

Fig. 5. Streamlines for $Gr=500$, $Re=10$, $Pr=10$, and different values of Bingham number



شکل ۶. توزیع سرعت مماسی بی بعد در $\theta = 0^\circ$ برای $Gr = 500$ ، $Re = 10$ ، $Pr = 10$ و مقادیر مختلف عدد بینگهام

Fig. 6. The variation of dimensionless tangential velocity at $\theta=0^\circ$ for $Gr=500$, $Re=10$, $Pr=10$, and different Bingham numbers

استوانه ایجاد شود، دو گردابه متقاضن در سمت چپ و راست محفظه تشکیل می‌شود. گردابه سمت راست ساعت‌گرد و گردابه سمت چپ پادساعت‌گرد خواهند بود. در مسئله حاضر، چرخش دیواره داخلی، در خلاف جهت عقربه‌های ساعت، گردابه سمت راست را تقویت و گردابه سمت چپ را تضعیف می‌کند. بنابراین برای $Bn = 0$ تنها یک گردابه ساعت‌گرد در سمت راست تشکیل می‌شود و در سمت چپ گردابه‌ای وجود ندارد. در جریان سیال با عدد بینگهام برابر با یک، همانند جریان نیوتینی تنها یک گردابه در سمت راست تشکیل می‌شود اما گردابه، در مقایسه با جریان نیوتینی، فضای کمتری را اشغال می‌کند و ضعیفتر است. برای مقادیر بزرگ‌تر عدد بینگهام ($Bn = 10, 100$) به دلیل افزایش ناحیه تسیلیمنشده مرده در سمت چپ و راست محفظه، گردابه‌ای در محفظه تشکیل نمی‌شود و به دلیل محدودشدن فضا برای جریان سیال، خطوط جریان در مجاورت دیواره داخلی به هم فشرده می‌شوند و از شدت جریان، به خصوص در $Bn = 100$ بهشت کاسته می‌شود.

۵-۳- توزیع سرعت
توزیع سرعت مماسی در فاصله بین دو استوانه در $\theta = 0^\circ$ برای اعداد

توزيع سرعت مماسی برای $Bn = 1000$ در $\theta = 0^\circ$ (شکل ۶) و $\theta = 180^\circ$ (شکل ۷)، این موضوع را به خوبی نشان می‌دهد.

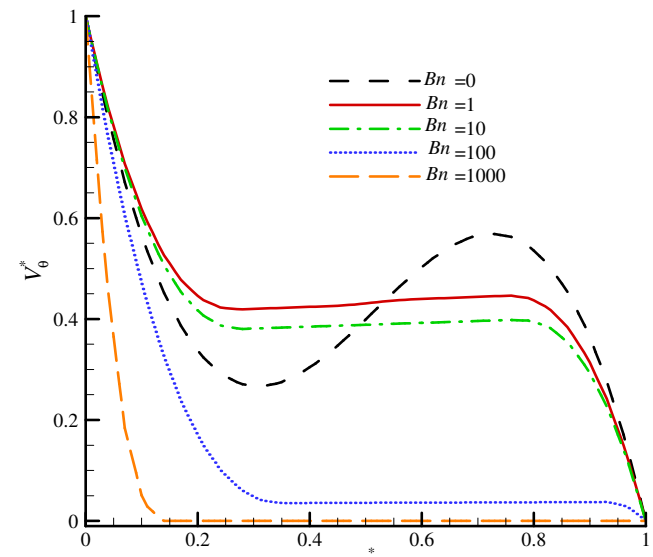
۱- تغییرات عدد ناسلت

عدد ناسلت موضعی و میانگین بر روی دیواره‌ی داخلی به صورت زیر تعریف می‌شوند:

$$Nu_i = \frac{hL}{k} = \frac{-k \frac{\partial T}{\partial r}|_{r=R_i}}{k(T_i - T_o)} = \frac{\partial T^*}{\partial r^*}|_{r^*=0} \quad (15)$$

$$\overline{Nu}_i = \frac{\int_0^{2\pi} Nu_i(\theta) R_i d\theta}{2\pi R_i} = \frac{\int_0^{2\pi} Nu_i(\theta) d\theta}{2\pi} \quad (16)$$

در شکل ۸ توزیع عدد ناسلت موضعی بر روی دیواره داخلی، در شرایطی که $Gr = 500$ ، $Re = 10$ ، $Pr = 10$ و $Bn = 1$ است، برای مقادیر مختلف عدد بینگهام نشان داده شده است. به طور معمول، در حالتی که جریان سیال نیوتونی و جریان سیال تنها ناشی از جابجایی طبیعی باشد کمترین و بیشترین میزان انتقال حرارت به ترتیب در بالا، آن است که سیال گرم براثر شناوری به سمت بالای دامنه صعود می‌کند و انباست سیال گرم در بالای دامنه سبب می‌شود که گرادیان دما در بالای دامنه از سایر نقاط کمتر باشد لذا کمترین میزان انتقال حرارت در این ناحیه روی می‌دهد. از طرف دیگر، حرکت سیال سرد به سمت پایین محفوظه سبب می‌شود که بیشترین گرادیان دمایی و انتقال حرارت در ناحیه پایین دامنه روی دهد. با توجه به شکل ۸، زمانی که مکانیسم انتقال حرارت هم طبیعی و هم اجباری است کمترین و بیشترین میزان انتقال حرارت در $Bn = 0$ به ترتیب در $\theta = 120^\circ$ و $\theta = 295^\circ$ روی می‌دهند. جابجاشدن این نقاط نسبت به حالت انتقال حرارت طبیعی به دلیل چرخش پادساعتگرد دیواره داخلی همانند جریان سیال نیوتونی است با این تفاوت که، به دلیل تضعیف شدن جریان سیال، در نقاط که میزان انتقال حرارت ماکزیمم است عدد ناسلت کاهش می‌یابد و بالعکس در نقاطی که میزان انتقال



شکل ۷. توزیع سرعت مماسی بی بعد در $\theta = 180^\circ$ برای $Re = 10$ ، $Pr = 10$ و مقادیر مختلف عدد بینگهام $Gr = 500$.

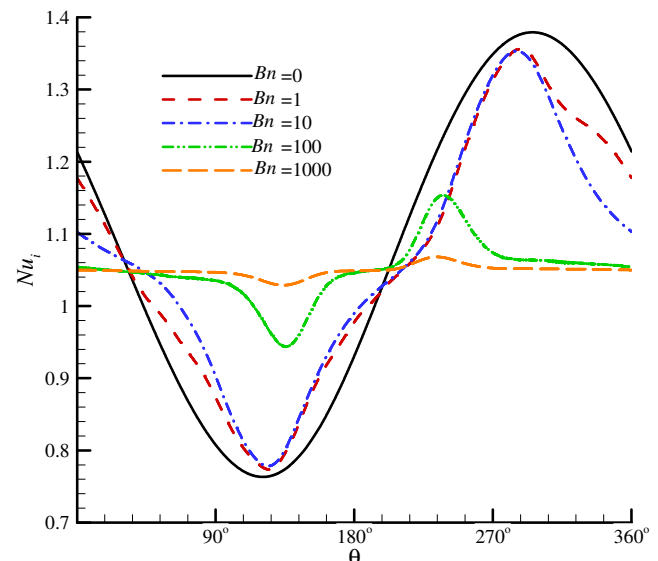
Fig. 7. The variation of the dimensionless tangential velocity at $\theta=180^\circ$ for $Gr=500$, $Re=10$, $Pr=10$, and different values of Bingham number

یک ناحیه نازک اطراف دیواره داخلی تسلیم می‌شود (شکل ۴) و این موضوع در شکل ۶ نیز به‌وضوح مشخص است. در شکل ۷ نیز توزیع سرعت مماسی بی بعد در $\theta = 180^\circ$ برای مقادیر مختلف عدد بینگهام نشان داده شده است. در این ناحیه گردابه‌ای تشکیل نمی‌شود. اما اثر نیروی شناوری سبب می‌شود که با فاصله گرفتن از دیواره دوار داخلی، مقدار سرعت مماسی برای جریان نیوتونی ابتدا کاهش سپس افزایش و مجددًا کاهش یابد و نهایتاً بر روی دیواره بیرونی صفر شود. در $Bn = 1$ ، اثر نیروی شناوری کمتر می‌شود و گرادیان سرعت در فضای بین دو استوانه کاهش می‌یابد و دو ناحیه پلاگ کوچک و مجزا در این ناحیه تشکیل شود. با افزایش بیشتر عدد بینگهام ($Bn = 10$)، این ناحیه وسعت بیشتری پیدا می‌کند و گرادیان سرعت در ناحیه بزرگ‌تری به سمت صفر میل می‌کند. ناحیه پلاگ تشکیل شده در $Bn = 100$ به دیواره بیرونی نمی‌چسبد و با آن یک فاصله‌ی بسیار باریک دارد (شکل ۴)، این موضوع به خوبی در شکل ۷ مشخص است. با توجه به این شکل، گرادیان سرعت در نزدیکی $r^* = 1$ در ناحیه بسیار کوچکی، مخالف صفر است. همان‌طور که در بالا بیان شد، در $Bn = 1000$ با ازبین‌رفتن اثر نیروی شناوری، مسئله به یک مسئله متقاضان تبدیل می‌شود. مقایسه

جدول ۳. مقادیر عدد ناسلت میانگین و ضریب گشتاور برای مقادیر مختلف عدد بینگهام و
 $Re = 10$ ، $Pr = 10$ ، $Gr = 500$

Table 3. The average Nusselt number and the torque coefficient on the inner wall for $Gr=500$, $Re=10$, $Pr=10$, and different values of Bingham number

| اندازه ضریب (C_T) | ناسلت میانگین (\overline{Nu}_i) | عدد بینگهام |
|------------------------|-------------------------------------|-------------|
| ۰/۲۹۲ | ۱/۰۷۵ | . |
| ۰/۳۴۵ | ۱/۰۶۶ | ۱ |
| ۰/۷۲۹ | ۱/۰۶۳ | ۱۰ |
| ۱/۰۰۵ | ۱/۰۵۰ | ۱۰۰ |
| ۱/۰۱۶ | ۱/۰۴۹ | ۱۰۰۰ |



شکل ۸. توزیع عدد ناسلت موضعی بر روی دیوار داخلی برای $Re = 10$ ، $Pr = 10$ ، $Gr = 500$ و مقادیر مختلف عدد بینگهام

Fig. 8. The variation of the local Nusselt number on the inner wall for $Gr=500$, $Re=10$, $Pr=10$, and different values of Bingham number

(طول مشخصه×مساحت مشخصه× $5\tilde{n}u^2/0$) مرسوم است (به طور مثال [۲۱]). البته در تعریف C_T درنظر گرفتن تنش تسليیم، برای مقایسه‌ی عادلانه بین موارد که اعداد مختلف بینگهام دارند، ضروری است [۲۲]. لذا ضریب گشتاور به صورت زیر تعریف می‌شود:

در رابطه‌ی بالا عمق، برابر واحد در نظر گرفته شده است. با توجه به جدول ۲، ضریب گشتاور با افزایش عدد بینگهام افزایش می‌یابد. با افزایش عدد بینگهام به دلیل افزایش وسعت ناحیه مرده، ناحیه‌ای که سیال در آن جاری می‌شود پهنانی کمتری دارد لذا میزان گرادیان سرعت و متعاقب آن تنش و ضریب گشتاور افزایش می‌یابد. در شکل ۹ تنش مماسی بی بعد ($\frac{\theta}{0.5\tilde{n}V_{\theta\theta}^2 + \delta_y^2}$) بر روی دیواره داخلی در اعداد بینگهام مختلف نشان داده شده است.

برای جریان سیال نیوتی ($Bn = 0$), همان‌طور که پیش‌ازین بیان شد، یک گردابه ساعت‌گرد در سمت راست محفظه تشکیل می‌شود و باعث می‌شود که بیشینه سرعت در فاصله بین دیوارهای داخلی و خارجی رخ دهد. در این ناحیه گرادیان سرعت روی دیوار داخلی مشبت و تنش برشی نیز مشبت و در جهت چرخش استوانه داخلی به آن وارد می‌شود. در این حالت در سمت چپ محفظه که گردابه‌ای تشکیل نمی‌شود، بیشینه سرعت سیال بر روی دیوار داخلی رخ می‌دهد و در سرتاسر فضای بین دیوارهای داخلی و خارجی گرادیان سرعت منفی می‌شود و تنش برشی در خلاف جهت چرخش استوانه

حرارت کمینه است عدد ناسلت افزایش می‌یابد. درواقع در جریان سیال بینگهام بازه تغییرات ناسلت موضعی نسب به جریان سیال نیوتی کمتر است. با افزایش بیشتر عدد بینگهام تغییرات ناسلت موضعی بر روی دیواره کاهش بیشتری می‌یابد، بهنحوی که برای $Bn = 1000$ تغییرات موضعی عدد ناسلت قابل‌غمض است. دلیل این امر آن است که با افزایش عدد بینگهام و وسعت بیشتر نواحی تسليیم‌نشده، اثرات نیروی شناوری کمتر می‌شود و هدایت، مکانیسم غالب انتقال حرارت می‌شود. با توجه به شکل ۸، در $Bn = 100$ در نواحی که مناطق مرده وجود دارد میزان انتقال حرارت تقریباً ثابت است. همچنین با افزایش عدد بینگهام نقاط بیشینه و کمینه ناسلت به $\theta = 180^\circ$ نزدیک می‌شوند.

عدد ناسلت میانگین با افزایش عدد بینگهام دائماً کاهش می‌یابد. با توجه به جدول ۳ این کاهش در اعداد بینگهام کوچک‌تر محسوس‌تر است به‌گونه‌ای که مقدار عدد ناسلت میانگین برای $Bn = 100$ و $Bn = 1000$ تفاوت چندانی با یکدیگر ندارند.

۵-۴- ضریب گشتاور و توزیع تنش مماسی

تعریف ضریب گشتاور به صورت نسبت گشتاور مقاوم به حاصل ضرب

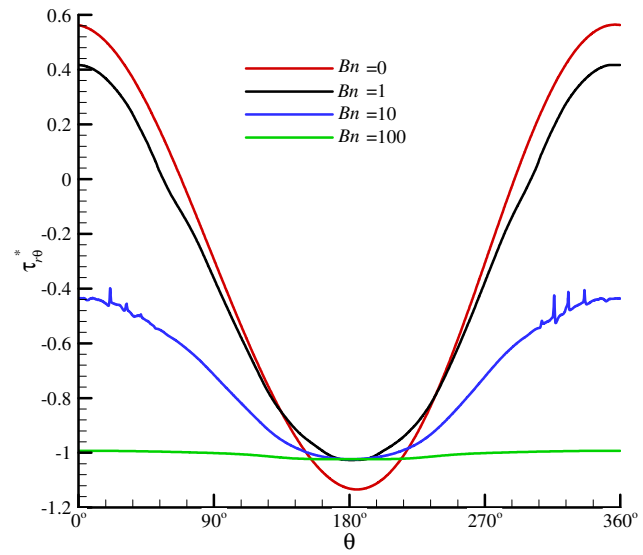
و تنش بر روی این سطح محاسبه می‌شود. این رفتارهای زیگزاگی که می‌تواند حاصل از خطای عددی باشد، در این سطح مورد انتظار است.

۶- نتیجه‌گیری

در این پژوهش ابتدا با توسعه حل کنندهٔ نرم‌افزار اینفوم، حل کننده‌ای به دست آمد که قادر به حل جریان و انتقال حرارت سیال بینگهام با استفاده از مدل دقیق در شرایط ناپایا است. پس از اعتبارسنجی حل کننده توسعه یافته، از آن برای مطالعه عددی جریان انتقال حرارت جابجایی توازن سیال بینگهام در بین دو استوانه هم‌مرکز استفاده شد. با ارائه شکل نواحی تسلیم‌نشده، خطوط جریان، توزیع سرعت، توزیع عدد ناسلت موضعی و توزیع تنش مماسی، اثر عدد بینگهام بر مشخصات هیدرودینامیکی و حرارتی جریان برای یک هندسهٔ مشخص ($AR = 0.1$) و شرایط ثابت ($Re = 10$ ، $Pr = 10$ ، $Gr = 500$) مورد بحث و بررسی قرار گرفت. نتایج حاصل از این پژوهش به صورت زیر قابل جمع‌بندی است.

- در میدان جریان سیال بینگهام ناحیه‌هایی وجود دارد که در این نواحی سیال جاری نمی‌شود. بعضی از این نواحی به دیواره ثابت می‌چسبند که ناحیه تسلیم‌نشده مرده نام دارند و بعضی از این نواحی به صورت یکپارچه با توده سیال حرکت می‌کنند که ناحیه تسلیم‌نشده پلاگ نامیده می‌شوند. با افزایش عدد بینگهام نواحی تسلیم‌نشده مرده توسعه می‌یابند و جریان سیال را تضعیف می‌کنند.
- برای اعداد بینگهام کوچک ($Bn = 0.1$) اثر نیروی شناوری راست محفوظه تشكیل می‌شود و میدان جریان و انتقال حرارت را تحت تأثیر قرار می‌دهد.

- در اعداد بینگهام کوچک که نیروی شناوری تأثیرگذار است، جریان جابجایی طبیعی سبب می‌شود که سیال گرم به سمت ناحیه بالایی محفوظه حرکت کند. حرکت سیال گرم به سمت فضای بالای محفوظه سبب کاهش گرادیان دما و کاهش عدد ناسلت موضعی در این ناحیه می‌شود. و متقابلاً به دلیل حرکت سیال سرد بر اثر جابجایی طبیعی به سمت ناحیه پایینی محفوظه، گرادیان دما و عدد ناسلت موضعی در این ناحیه افزایش می‌یابد. و به طور کلی با افزایش عدد بینگهام به دلیل بی‌اثرشندن جابجایی طبیعی و تضعیف جریان ناشی از توسعه نواحی تسلیم‌نشده عدد



شکل ۹. توزیع تنش مماسی بی بعد بر روی دیوارهٔ داخلی برای $Re = 10$ ، $Pr = 10$ ، $Gr = 500$ و مقادیر مختلف عدد بینگهام

Fig. 9. The distribution of the dimensionless shear stress on the inner wall for $Gr=500$, $Re=10$, $Pr=10$, and different values of Bingham number

داخلی به آن وارد می‌شود. با توجه به شکل ۹، در جریان نیوتونی حداقل اندازهٔ تنش مماسی در $\theta = 180^\circ$ روی می‌دهد که دلیل این امر مخالف بودن جهت نیروی شناوری و حرکت تودهٔ سیال است. در اعداد بینگهام کوچک ($Bn = 1$) همچنان نیروی شناوری مؤثر است و در سمت راست همچنان مقدار تنش مثبت است. اما در اعداد بینگهام بزرگ‌تر رفتار فرهنگی اثر شناوری از بین می‌رود و تنش در تمامی نقاط منفی می‌شود، به طوری که برای ($Bn = 100$) اثر نیروی شناوری تقریباً از بین رفته است و تنش برشی در پیرامون استوانه داخلی ثابت و در خلاف جهت چرخش آن است. در سمت راست دامنه نیروی شناوری موافق و در سمت چپ نیروی شناوری مخالف وجود دارد. و این امر سبب تفاوت در مقدار تنش مماسی بی بعد بر روی دیواره داخلی می‌شود. این تفاوت در اعداد بینگهام کوچک (0.1 و 1) قابل ملاحظه است اما با افزایش اعداد بینگهام (100 و 1000) اثر نیروی شناوری کم می‌شود بدین ترتیب تغییرات تنش مماسی بی بعد در سطح دیواره داخلی نیز کم می‌شود. با توجه به شکل ۹، برای ($Bn = 10$)، رفتار زیگزاگی برای تنش مماسی مشاهده می‌شود دلیل این رفتار آن است که در این عدد بینگهام ناحیه‌ی پلاگ نازکی تشكیل می‌شود درواقع مرز تسلیم‌شده‌ی به دیواره داخلی نزدیک است. مرز تسلیم‌شده‌ی یک سطح بحرانی است

| | |
|-----------|--------------------------------------|
| μ | چگالی، kg/m^3 |
| φ | تابع جریان، m^2/s |
| τ_y | تنش تسليم، N/m^2 |
| ω | سرعت زاویه‌ای دیواره، rad/s |
| زیرنویس | |
| i | پارامترهای مربوط به دیواره داخلی |
| o | پارامترهای مربوط به دیواره خارجی |
| r | بردار در راستای شعاع |
| θ | بردار در راستای مماسی |
| بالانویس | |
| * | پارامتر بی بعد |

- نسلت متوسط کاهش می‌یابد.
- با افزایش عدد بینگهام به دلیل توسعه نواحی تسليمنشده و کاهش فضای جریان سیال، گرادیان سرعت افزایش و بهتیع آن ضریب گشتاور نیز افزایش می‌یابد.
- در اعداد بینگهام کوچک به دلیل تشکیل گردابه در سمت راست محفظه، جهت تنش برشی در سمت راست هم راستا با جهت چرخش استوانه داخلی و در سمت چپ محفظه در خلاف جهت چرخش آن است.

۷- فهرست عالائم

عالائم انگلیسی

۸- مراجع

- [1] T.C. Papanastasiou, Flows of Materials with Yield, Journal of Rheology, 31 (1987) 385-404.
- [2] E.J. O'Donovan, R.I. Tanner, Numerical study of the Bingham squeeze film problem, Journal of Non-Newtonian Fluid Mechanics, 15 (1984) 75-83.
- [3] E. Mitsoulis, T. Zisis, Flow of Bingham plastics in a lid-driven square cavity, Journal of Non-Newtonian Fluid Mechanics, 101 (2001) 173-180.
- [4] O. Turan, A. Sachdeva, N. Chakraborty, R.J. Poole, Laminar natural convection of Bingham fluids in a square enclosure with differentially heated side walls, Journal of Non-Newtonian Fluid Mechanics, 166 (2011) 1049-1063.
- [5] O. Turan, S. Yigit, N. Chakraborty, Numerical investigation of mixed convection of Bingham fluids in cylindrical enclosures with heated rotating top wall, International Journal of Heat and Mass Transfer, 108 (2017) 1850-1869.
- [6] I.A. Frigaard, C. Nouar, On the usage of viscosity regularisation methods for visco-plastic fluid flow computation, Journal of Non-Newtonian Fluid Mechanics, 127 (2005) 1-26.
- [7] R.R. Huilgol, G.H.R. Kefayati, Natural convection problem in a Bingham fluid using the operator-splitting method, Journal of Non-Newtonian Fluid Mechanics, 220 (2015) 22-32.
- [8] G.H.R. Kefayati, R.R. Huilgol, Lattice Boltzmann Method for simulation of mixed convection of a Bingham fluid in a lid-driven cavity, International Journal of Heat and Mass Transfer, 103 (2016) 725-743.
- [9] A. Syrakos, G.C. Georgiou, A.N. Alexandrou, Performance of the finite volume method in solving regularised Bingham flows: Inertia effects in the lid-driven cavity flow, Journal of Non-Newtonian Fluid Mechanics, 208-209 (2014) 88-107.
- [10] R. Glowinski, J.L. Lions, R. Tremoliers, Numerical Analysis of Variational Inequalities., NORTH-HOLLAND PUBLISHING COMPANY AMSTERDAM

| | |
|-----------------|---|
| A | تانسور اول رویلین اریکسون، $1/\text{s}$ |
| AR | نسبت منظری |
| Bn | عدد بینگهام |
| C_T | ضریب گشتاور |
| g | m/s^2 گرانش، |
| Gr | عدد گراف |
| h | ضریب انتقال حرارت جابجا، $\text{W/m}^2\text{K}$ |
| k | ضریب انتقال حرارت رسانشی، W/mK |
| L | گرادیان سرعت، $1/\text{s}$ |
| ℓ | فاصله‌ی دو دیواره از یکدیگر، m |
| Nu | عدد نسلت موضعی |
| \overline{Nu} | عدد نسلت میانگین |
| p | فشار، pa |
| p_d | فشار دینامیکی، pa |
| p_M | عملگر در رابطه‌ی (۷) |
| pr | عدد پرانتل |
| R | شعاع، m |
| $Ra=PrRe$ | عدد رابیلی |
| Re | عدد رینولدز |
| Ri | عدد ریچاردسون |
| S | تانسور تنش اضافی |
| T | دما، K |
| t | زمان، s |
| V | بردار سرعت، m/s |
| عالائم یونانی | |
| α | ضریب نفوذ گرمایی، m^2/s |
| β | ضریب انساط حجمی، $1/\text{K}$ |
| η | گرانروی، kg/ms |
| Λ | تانسور قید سیال ویسکوپلاستیک 10^{-3} N/mm^2 |

(2019) 1188-1198.

- [17] K. Ragui, A. Boutra, R. Bennacer, Y.K. Benkahla, Progress on numerical simulation of yield stress fluid flows (Part I): Correlating thermosolutal coefficients of Bingham plastics within a porous annulus of a circular shape, International Journal of Heat and Mass Transfer, 126 (2018) 72-94.
- [18] R.R. Huilgol, Fluid Mechanics of Viscoplasticity, (2015).
- [19] R.I. Issa, Solution of the implicitly discretised fluid flow equations by operator-splitting, Journal of Computational Physics, 62 (1986) 40-65.
- [20] H.R.A. Jahromi, A. Raisi, B. Ghasemi, A.A. Nadooshan, Numerical study of the Bingham fluid flow in a cylindrical enclosure with exact Bingham model, Journal of the Brazilian Society of Mechanical Sciences and Engineering, 42(4) (2020).
- [21] E. Lang, K. Sridhar, N.W. Wilson, Computational Study of Disk Driven Rotating Flow in a Cylindrical Enclosure, Journal of Fluids Engineering, 116 (1994) 815.
- [22] R.L. Thompson, E.J. Soares, Viscoplastic dimensionless numbers, Journal of Non-Newtonian Fluid Mechanics, 238 (2016) 57-64.
- [11] E.J. DEAN, R. GLOWINSKI, OPERATOR-SPLITTING METHODS FOR THE SIMULATION OF BINGHAM VISCO-PLASTIC FLOW, Chinese Annals of Mathematics, 23 (2002) 187-204.
- [12] G. Vinay, A. Wachs, J.F. Agassant, Numerical simulation of non-isothermal viscoplastic waxy crude oil flows, Journal of Non-Newtonian Fluid Mechanics, 128 (2005) 144-162.
- [13] L. Chupin, T. Dubois, A bi-projection method for Bingham type flows, Computers and Mathematics with Applications, 72 (2016) 1263-1286.
- [14] T.H. Kuehn, R.J. Goldstein, An experimental and theoretical study of natural convection in the annulus between horizontal concentric cylinders, Journal of Fluid Mechanics, 74 (1976) 695-719.
- [15] J.S. Yoo, Mixed convection of air between two horizontal concentric cylinders with a cooled rotating outer cylinder, International Journal of Heat and Mass Transfer, 41 (1998) 293-302.
- [16] H. Masoumi, M.S. Aghighi, A. Ammar, A. Nourbakhsh, Laminar natural convection of yield stress fluids in annular spaces between concentric cylinders, International Journal of Heat and Mass Transfer, 138 . NEW YORK . OXFORD, 8 (1981).

برای ارجاع به این مقاله از عبارت زیر استفاده کنید:

H.R. Askarifard Jahromi, A. Raisi , B. Ghasemi, A. Ahmadi Nadooshan. Numerical simulation of mixed convection of Bingham fluid between two coaxial cylinders,Amirkabir J. Mech. Eng., 53(Special Issue 5)(2021) 3417-3428.

DOI: [10.22060/mej.2020.17979.6700](https://doi.org/10.22060/mej.2020.17979.6700)

